湖北金粟兰中倍半萜二聚体化合物(+)-chlorahupetenes B对脂多糖诱导的 RAW264.7细胞的抗炎作用

胡蕴然1,2,庄鹏宇3,柳 航2,钱 铭2,杨 慧2*,葛卫红2

- 1. 中国药科大学 基础医学与临床药学学院,南京鼓楼医院 药学部,江苏 南京 210008
- 2. 南京大学医学院附属鼓楼医院 药学部, 江苏 南京 210008
- 3. 华北理工大学 药学院,河北 唐山 063210

关键词: 金粟兰; 倍半萜二聚体化合物; (+)-Chlorahupetenes B; 抗炎; 巨噬细胞; Toll样受体 4 (TLR4); 核因子 κB (NF-κB); 嘌呤能受体 (P2X7); NOD样受体热蛋白结构域相关蛋白3 (NLRP3)

中图分类号: R285.5 文献标志码: A 文章编号: 1674-6376(2024)03-0505-08

DOI: 10.7501/j.issn.1674-6376.2024.03.007

Anti-inflammatory effect of a sesquiterpene dimer compound (+)-chlorahupetenes B from *Chloranthus henryi* var. *hupehensis* (Pamp.) K. F. Wu on lipopolysaccharides-stimulated RAW264.7 Cells

HU Yunran^{1,2}, ZHUANG Pengyu³, LIU Hang², QIAN Ming², YANG Hui², GE Weihong²

- 1. School of Basic Medicine and Clinical Pharmacy, China Pharmaceutical University, Department of Pharmacy, Nanjing Drum Tower Hospital, Nanjing 210008, China
- 2. Department of Pharmacy, Affiliated Drum Tower Hospital of Nanjing University Medical School, Nanjing 210008, China
- 3. School of Pharmacy, North China University of Science and Technology, Tangshan 063210, China

Abstract: Objective To evaluate the anti-inflammatory activity and mechanism of (+)-chlorahupetenes B, a natural eudesmane-type sesquiterpenoid dimer compound obtained from *Chloranthus henryi* var. *hupehensis*, in lipopolysaccharides (LPS) -induced RAW264.7 cell. **Methods** RAW264.7 cells were divided into control group (given equal volume of DMSO), model group (given equal volume of DMSO), dexamethasone sodium phosphate injection (Dex, positive control, 1 μmolL⁻¹) group, and (+) - CHB low, medium, and high concentrations (5, 10, 20 μmolL⁻¹) groups. Each group was incubated with corresponding drugs for 1 h. Except

收稿日期: 2023-10-31

基金项目: 国家自然科学基金青年资助项目(82204720);中央高校基本科研业务费资助项目(3332022085) 第一作者: 胡蕴然(1999—),女,硕士研究生,研究方向为抗炎免疫药理学。E-mail:yunran923@outlook.com

^{*}通信作者: 杨 慧,女,药师,主要研究方向为抗炎免疫药理学、临床药学。E-mail;yanghui@njglyy.com

for the control group, the other groups were induced with LPS (1 μ g·mL⁻¹) for 24 hours to create an inflammatory response model. Cell proliferation detection method was used to evaluate cell viability. Griess reaction was employed for determining nitric oxide (NO) concentration. Enzyme-linked immunosorbent assay was utilized for detecting inflammatory cytokines including tumor necrosis factor α (TNF- α), interleukin (IL)-1 β , and IL-6. Real time fluorescence quantitative PCR (qRT PCR) was performed to analyze *IL*-1 β , NOD like receptor heat protein domain associated protein 3 (*NLRP3*), cyclooxygenase-2 (*COX*-2), inducible nitric oxide synthase (*iNOS*), *IL*-6, and *TNF*- α mRNA expression. Western blotting detection was used to detect the expression levels of Toll like receptor 4 (TLR4), myeloid differentiation factor 88 (MyD88), nuclear factor κ B (NF- κ B) p65, p-NF- κ B p65, NLRP3, and purinergic receptor (P2X7) proteins. **Results** Compared with the model group, (+)-CHB reduced the number of spindle cells and restored most of the cells to their normal morphology, significantly inhibited NO and TNF- α , IL-6, IL-1 β generation (P < 0.01), significantly reduced COX-2, iNOS, IL-6, TNF- α , NLRP3, and IL-1 β mRNA levels (P < 0.05, 0.01), significantly reduced the expression levels of TLR4, MyD88, NF- κ B p65, p-NF- κ B p65, NLRP3, and P2X7 proteins (P < 0.05, 0.01). **Conclusion** These findings suggested that (+)-CHB was an anti-inflammatory compound which could relieve LPS-stimulated macrophage inflammatory response partly by targeting TLR4/MyD88/NF- κ B signal pathway and P2X7/NLRP3/IL-1 β inflammasome axis.

Key words: Chloranthus henryi var. hupehensis (Pamp.) K. F. Wu; sesquiterpene dimer compound; (+)-chlorahupetenes B; anti-inflammatory; macrophages; Toll like receptor 4 (TLR4); nuclear factor κB (NF- κB); purinergic receptors (P2X7); NOD like receptor heat protein domain associated protein 3 (NLRP3)

炎症是引起细胞和组织损伤的关键因素,其通 过诱导和加剧免疫功能障碍、代谢异常、内分泌紊 乱、疼痛和肿瘤生长,参与几乎所有疾病的进展。 炎症性疾病的发病率和死亡率占全球主导地位,已 被公认为当今世界最重要的死亡原因,50%以上的 死亡可归根于炎症相关疾病[1]。因此,消除不必要 的非感染性炎症是维持健康和疾病治疗的重要策 略[2]。炎症是一个复杂的过程,其特征是大量炎症 细胞迁移和募集到炎症组织部位,而巨噬细胞在引 发和维持炎症方面发挥着重要作用[3]。巨噬细胞作 为组织内单核吞噬细胞的主要群体,可以吞噬细菌 并释放促炎和抗菌介质,在固有免疫和适应性免疫 中发挥关键作用[4]。巨噬细胞存在于几乎所有的身 体组织中,是外来物质的直接作用和主要应答 细胞[5]。在感染或损伤等因素的刺激作用下,巨噬 细胞通过释放促炎介质来对抗刺激,如肿瘤坏死因 子 $\alpha(TNF-\alpha)$ 、白细胞介素(IL)-1 β 、IL-6、一氧化 氮(NO)、诱导型一氧化氮合酶(iNOS)和环氧 合酶-2(COX-2)等,然而这些炎症介质的长期分泌 可引起组织损伤,最终导致局部性或全身性的炎症 反应[6-7]。因此,控制巨噬细胞炎症应答可能是防治 炎症性疾病的可行策略。

Toll样受体4(TLR4)是经典的天然免疫模式识别受体,介导急性和慢性炎症的发生发展^[8]。脂多糖(LPS)通常被用作TLR4激动剂来诱导巨噬细胞并刺激关键的促炎细胞因子的产生。TLR4识别的信号随后通过髓样分化因子88(MyD88)等适配器分子触发下游信号级联,随后激活核因子kB(NF-kB)

p65亚基,导致多种炎症基因的表达^[9-10]。嘌呤能受体(P2X7)是一种离子通道,参与细胞信号转导及细胞因子分泌,参与不同疾病中的慢性炎症^[11]。在巨噬细胞中,LPS诱导腺嘌呤核苷三磷酸(ATP)释放和P2X7受体激活,调节NOD样受体热蛋白结构域相关蛋白3(NLRP3)炎症小体的组装,并分泌促炎因子 IL-1β,从而加重炎症应答^[12]。因此,抑制TLR4炎症信号通路或调控炎症小体的激活有利于多种炎症性疾病的治疗。

湖 北 金 粟 兰 Chloranthus henryi var. hupehensis (Pamp.) K. F. Wu 是金粟兰科的一种中草药,具有抗炎、抗菌、抗肿瘤和抗病毒活性[13]。湖北金粟兰含有萜类、酰胺类、甾体类和木脂素等多种成分,其中萜类(尤其是倍半萜)是其主要生物活性成分[14-15]。在前期研究中,已从湖北金粟兰中获得4对独特的 eudesmane 型倍半萜二聚体对映体,具有抑制 LPS 诱导的 RAW264.7细胞产生 NO 的作用,其中(+)-chlorahupetene B[(+)-CHB](图1)抑制 NO 的半数抑制浓度为12.31 μmol·L⁻¹,对于炎症性疾病的治疗具有良好的抗炎潜力和研究开发利用价值,但其具体抗炎作用及机制尚未完全阐明^[16]。因此,对(+)-CHB 的抗炎作用和靶点进行深入研究,将有利于阐明湖北金粟兰中倍半萜二聚体的抗炎机制。

本研究将构建经典的LPS诱导的RAW264.7细胞模型,评估(+)-CHB减少炎症介质和细胞因子(NO、iNOS、COX-2、TNF-α和IL-6)产生的作用,分析(+)-CHB对炎症信号通路蛋白TLR4/MyD88/

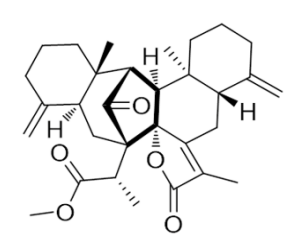


图 1 (+)-CHB 结构 Fig. 1 Structure of (+)-CHB

NF-κB p65 表达的调控,并确定(+)-CHB 抑制 P2X7/ NLRP3/IL-1β 轴 激 活 的 功 能 。 本 研 究 通 过 揭 示 (+)-CHB 发挥抗炎作用的潜在机制,为湖北金粟 兰中活性化合物的开发和应用提供参考。

1 材料

1.1 主要仪器

3020 酶标仪(Thermo Fisher 公司); LightCycler 480 实时聚合酶链反应(PCR)仪(Roche 公司); SW-CJ-2D 超净工作台(苏州净化设备有限公司); 5200 凝胶显微成像系统(上海天能生命科学有限公司); Centrifuge5424R 低温高速离心机(Eppendorf 公司); XD-202 倒置荧光显微镜(江南永新生物公司); BG-verMINI 垂直电泳仪、BG-verBLOT 垂直转印仪(北京百晶生物技术有限公司)。

1.2 主要药品与试剂

(+)-CHB化合物由华北理工大学庄鹏宇教授 制备,质量分数大于98%[16]。DMEM培养基、胎牛 血清(Gibco 公司);青霉素和链霉素(Biosharp 公 司);细胞增殖检测MTS试剂盒(Promega公司);地 塞米松磷酸钠注射液(Dex)(国药集团容生制药有 限公司);二甲基亚砜(DMSO)(索莱宝公司); LPS(Sigma 公司); TNF-α、IL-1β、IL-6 酶联免疫分 析(ELISA)试剂盒(Biolegend 公司); TransZol Up Plus RNA 提取试剂盒、反转录试剂盒、Top Green qPCR SuperMix 试剂盒(Transgene 公司);蛋白酶抑 制剂、蛋白磷酸酶抑制剂、蛋白裂解液(普利莱公 司);聚偏氟乙烯膜(Millipore 公司);TLR4、 MyD88、NF-κB p65、p-NF-κB p65、NLRP3、甘油 醛 -3- 磷酸脱氢酶(GAPDH)抗体(CST公司); P2X7 抗体(Abcam); 生物素化抗兔 IgG(H+L) 二抗、过氧化物酶标记的链霉亲和素三 抗(Seracare 公司);增强化学发光(ECL)发光 液(翊圣公司)。

1.3 细胞株

小鼠巨噬细胞系(RAW264.7细胞)购于中国医学科学院细胞库。

2 方法

2.1 RAW264.7细胞培养

RAW264.7细胞以 DMEM 培养基,加 10% 胎牛血清,加 $100~U·mL^{-1}$ 青霉素和 $100~U·mL^{-1}$ 链霉素培养于 $37~C.5\%~CO_2$ 解箱中。细胞生长至对数生长期时用于实验。

2.2 细胞存活率检测

使用 DMSO 作为溶媒,配制浓度为 160 mmol·L^{-1} 的 (+)-CHB 储备液,使用 DMSO 进行倍比稀释,得到浓度分别为 $80 \times 40 \times 20 \times 10 \times 5 \times 2.5 \text{ mmol·L}^{-1}$ 的 (+)-CHB 储备液。RAW 264.7 细胞 (50×10.0) 每孔 (50×10.0) 8 组:对照组和 (+)-CHB (50×10.0) 8 组:对照组和 (+)-CHB (50×10.0) 80.0 (50×10.0) 40.0 (50×10.0) 40.0

细胞存活率=A(+)-CHB/A 对照

2.3 RAW264.7细胞分组及处理

为考察(+)-CHB的药效学作用及作用机制,细胞分为6组:对照组(给予等体积DMSO)、模型组(给予等体积DMSO)、Dex(阳性对照,1 μ mol·L⁻¹)组和(+)-CHB低、中、高浓度(5、10、20 μ mol·L⁻¹)组。各组分别加入相应药物孵育细胞1h,除对照组外,其余组加入LPS(1 μ g·mL⁻¹)诱导24h造成炎症应答模型。使用光学显微镜观察细胞形态。

2.4 NO浓度测定

RAW264.7细胞以每孔 1×10⁵个接种到96孔培养板,细胞分组、给药、造模、培养同"2.3"项。收集细胞培养上清液,加入等体积的 Griess 试剂(含1%磺胺的2.5%磷酸溶液和0.1%萘乙二胺二盐酸盐水溶液)。避光孵育10 min 后,用酶标仪于490 nm 处检测 4 值。

2.5 细胞因子生成水平检测

RAW264.7细胞以每孔 2×10^{5} 个接种到 48 孔培养板,细胞分组、给药、造模、培养同"2.3"项。 收集细胞培养上清液,使用 ELISA 试剂盒检测 $TNF-\alpha$ 、 IL-1 β 和 IL-6 的水平。

2.6 炎症相关基因表达水平检测

RAW264.7细胞以每孔2×10⁶个接种到6孔培养板,细胞分组、给药、造模、培养同"2.3"项。采用TransZol Up Plus RNA提取试剂盒提取RAW264.7细胞的总RNA,并将其反转录成cDNA。使用TopGreen qPCR SuperMix试剂盒,在实时PCR仪中进行实时荧光定量PCR(qRT-PCR)分析。扩增采用二

步法,条件如下:94°C 预变性 30 s,1个循环:94°C 变性 5 s,60°C 变性 $30 \text{ s},\pm 40$ 个循环:在95°C 下熔化 $5 \text{ s},\pm 60$ °C 下熔化 1 min,最后在 50 °C 下冷却

30 s。以 GAPDH作为内参,使用 $2^{-\Delta \Omega C}$ 法计算 $IL-1\beta$ 、NLRP3、COX-2、iNOS、IL-6 和 $TNF-\alpha$ 的 mRNA 相对表达。引物序列见表 1。

表 1 qRT-PCR 引物序列
Table 1 qRT-PCR primer sequences

基因	上游基因(5'→3')	下游基因(5'→3')
	TCGCAGCAGCACATCAACAAGAG	AGGTCCACGGGAAAGACACAGG
NLRP3	CCAACCAGAACTTCACACACC	TGTAGTTTACAGTCCGGGTGC
COX-2	CATCCCCTTCCTGCGAAGTT	CATGGGAGTTGGGCAGTCAT
iNOS	ACTACTGCTGGTGGTGACAA	CCTGAAGGTGTGGTTGAGTTC
TNF - α	GTCCCCAAAGGGATGAGAAGT	TTTGCTACGACGTGGGCTAC
GAPDH	GTGGGAATGGGTCAGAAGGA	CTTCTCCATGTCGTCCCAGT

2.7 炎症通路蛋白表达水平检测

RAW264.7 细胞以每皿 2×10⁷个接种到培养皿,细胞分组、给药、造模、培养同"2.3"项。收集RAW264.7 巨噬细胞,加入含蛋白酶抑制剂和蛋白磷酸酶抑制剂的蛋白裂解液,提取细胞总蛋白。配制10%十二烷基硫酸钠-聚丙烯酰胺凝胶电泳分离胶与5%浓缩胶,加入1×三羟甲基氨基甲烷-甘氨酸电泳缓冲液,上样后进行电泳,并转移至聚偏氟乙烯膜。5%脱脂奶粉室温封闭1h,4°C过夜孵育一抗TLR4、MyD88、NF-κBp65、p-NF-κBp65、NLRP3、P2X7、GAPDH;室温孵育二抗2h;室温孵育三抗1h。使用ECL发光液和化学发光成像仪显影成像,应用Image J软件对目的蛋白和内参蛋白条带进行灰度分析。

2.8 统计分析

使用 GraphPad Prim 9.0 软件分析,数据表示为 $\bar{x}\pm s$,两组间数据比较采用 Student's t-test 法进行分析,多组间数据比较采用单因素方差分析。

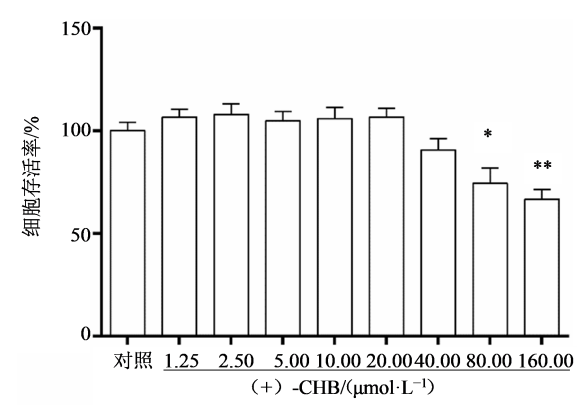
3 结果

3.1 (+)-CHB对RAW264.7细胞存活率的影响

如图 2 所示,与对照组相比,(+)-CHB 浓度在 $1.25\sim20~\mu mol\cdot L^{-1}$ 对 RAW264.7细胞存活率未见显著影响,当(+)-CHB 浓度为 $40~\mu mol\cdot L^{-1}$ 时细胞存活率有降低趋势,但未见统计学差异,当(+)-CHB 浓度大于 $80~\mu mol\cdot L^{-1}$ 时细胞存活率显著降低(P<0.05,0.01)。故选择无毒剂量 $5,10,20~\mu mol\cdot L^{-1}$ 作为后续研究的低、中、高剂量组。

3.2 (+)-CHB 对 LPS 刺激的 RAW264.7 细胞形态 的影响

使用光学显微镜记录细胞形态的变化,如图3



与对照组比较: $^*P < 0.05$ $^{**}P < 0.01$ 。 $^*P < 0.05$ $^{**}P < 0.01$ vs control group.

图 2 RAW264.7细胞存活率($\bar{x}\pm s$, n=3) Fig. 2 Viability of RAW264.7 cells ($\bar{x}\pm s$, n=3)

所示,对照组细胞呈饱满圆形,而LPS刺激的模型组部分细胞呈长梭形极化状态,形成伪足,触角分明;与模型组相比,(+)-CHB处理减少了梭形细胞数量,大部分细胞恢复正常形态。结果表明,(+)-CHB可减轻LPS对巨噬细胞的刺激,改善极化状态,缓解细胞炎症反应。

3.3 (+)-CHB对 LPS 刺激的 RAW264.7 细胞炎症介质生成的影响

对 RAW264.7 细胞炎症介质分泌及 mRNA 表达进行检测,如图 4 所示,与对照组相比,模型组 NO 生成和 iNOS、COX-2 mRNA 表达均显著增加(P<0.01);与模型组相比,(+)-CHB 各浓度显著抑制 NO 生成(P<0.01),显著降低 COX-2 mRNA 水平(P<0.01),10 和 20 μ mol·L⁻¹处理显著降低 iNOS mRNA 表达水平(P<0.05)。结果表明,(+)-CHB 可浓度相关性抑制体外 LPS 诱导的 RAW264.7 巨噬细胞中促炎介质分泌及 mRNA 表达。

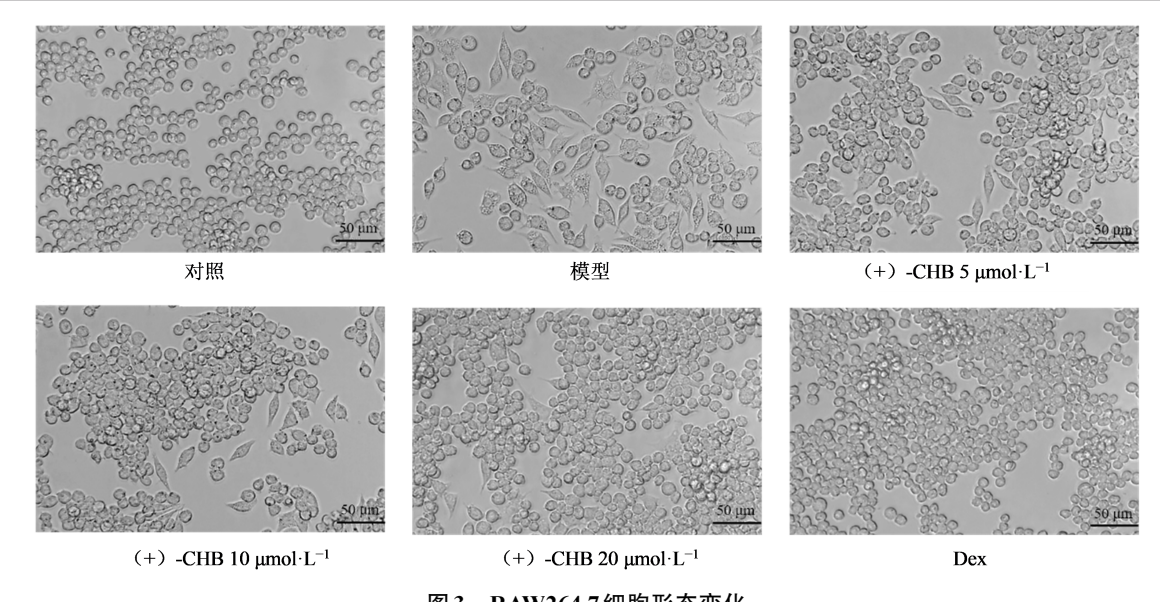
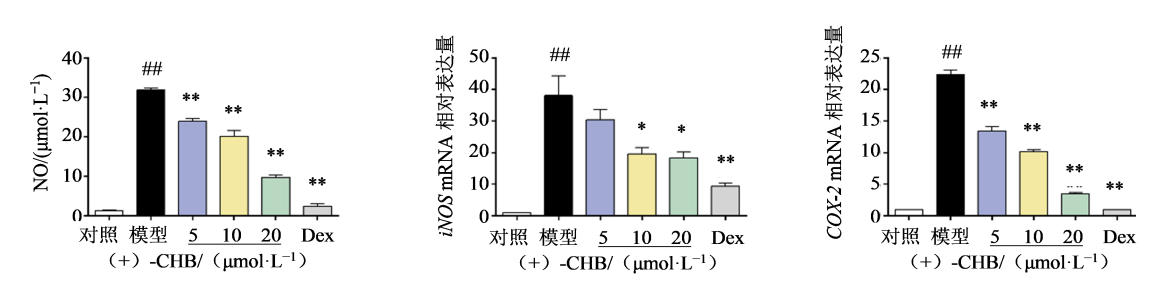


图3 RAW264.7细胞形态变化

Fig. 3 Morphological variation of RAW 264.7 macrophages



与对照组比较: $^{**}P$ <0.01;与模型组比较: $^{*}P$ <0.05 $^{**}P$ <0.01。 $^{**}P$ <0.01 $^{**}P$

图 4 RAW264.7细胞炎症介质水平($\bar{x}\pm s, n=3$)

Fig. 4 Level of inflammatory mediators of RAW 264.7 macrophages ($\bar{x}\pm s$, n=3)

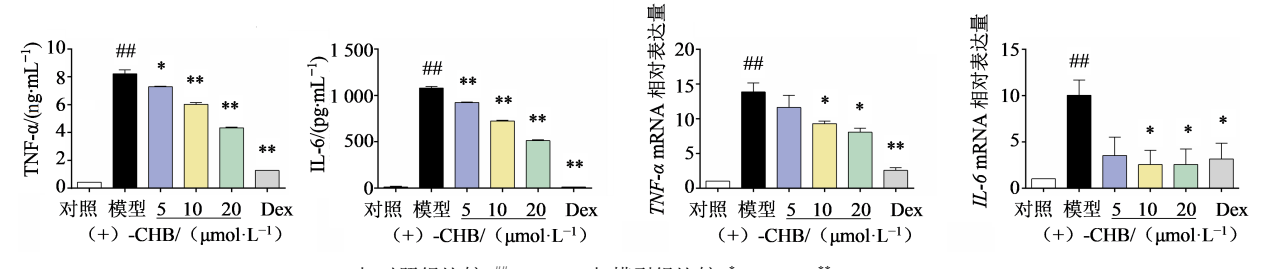
3.4 (+)-CHB 对 LPS 刺激的 RAW264.7 细胞炎症 细胞因子水平的影响

如图 5 所示,模型组的 TNF-α、IL-6 的上清分泌 水平和 mRNA 水平显著高于对照组(P<0.01);与模型组比较,各浓度(+)-CHB 和 Dex 处理均显著减少了 TNF-α 和 IL-6 分泌(P<0.05、0.01),中、高浓度(+)-CHB 和 Dex 处理显著减少 TNF-α 和 IL-6

mRNA 水平(P<0.05、0.01)。结果表明,(+)-CHB 通过抑制 LPS 诱导的 RAW264.7 巨噬细胞中炎症细胞因子的过度表达发挥抗炎作用。

3.5 (+)-CHB 对 LPS 刺激的 RAW264.7 细胞中 TLR4/MyD88/NF-κB 炎症通路的影响

对细胞中TLR4及其下游炎症通路信号蛋白表达进行检测,如图6所示,与对照组相比,LPS诱导



与对照组比较: $^{#*}P$ <0.01; 与模型组比较: $^{*}P$ <0.05 $^{**}P$ <0.01。 $^{#*}P$ <0.01 $^{**}P$ <0.01 $^{**}P$ <0.01 $^{**}P$ <0.01 $^{**}P$ <0.05 $^{**}P$ <0.05 $^{**}P$ <0.01 $^{**}P$ <0.01 $^{**}P$ <0.05 $^{**}P$ <0.05 $^{**}P$ <0.07 $^{**}P$ <0.09 $^{**}P$

图 5 RAW264.7 细胞炎症细胞因子水平($\bar{x}\pm s, n=3$)

Fig. 5 Level of inflammatory cytokines of RAW 264.7 macrophages ($\bar{x}\pm s$, n=3)

的模型组中炎症通路中关键信号分子 TLR4、MyD88、NF-кB p65和p-NF-кB p65蛋白的表达均显著增加(P<0.01);与模型组相比,(+)-CHB显著降低 TLR4、MyD88、NF-кB p65和p-NF-кB p65蛋白的表达(P<0.05、0.01)。结果表明,(+)-CHB可能通过抑制 TLR4/MyD88/NF-кB 炎症信号通路而发挥抗炎作用。

3.6 (+)-CHB 对 LPS 刺 激 的 RAW264.7 细 胞 P2X7/NLRP3/IL-1β炎症小体轴激活的影响

对细胞炎症小体及其上下游分子表达进行检测,如图 7的 Western blotting 结果所示,与对照组相比,模型组 P2X7 蛋白的表达显著增加(P<0.01);与模型组比较,(+)-CHB 以剂量相关的方式显著抑制 LPS 诱导的 P2X7 蛋白表达(P<0.05、0.01)。

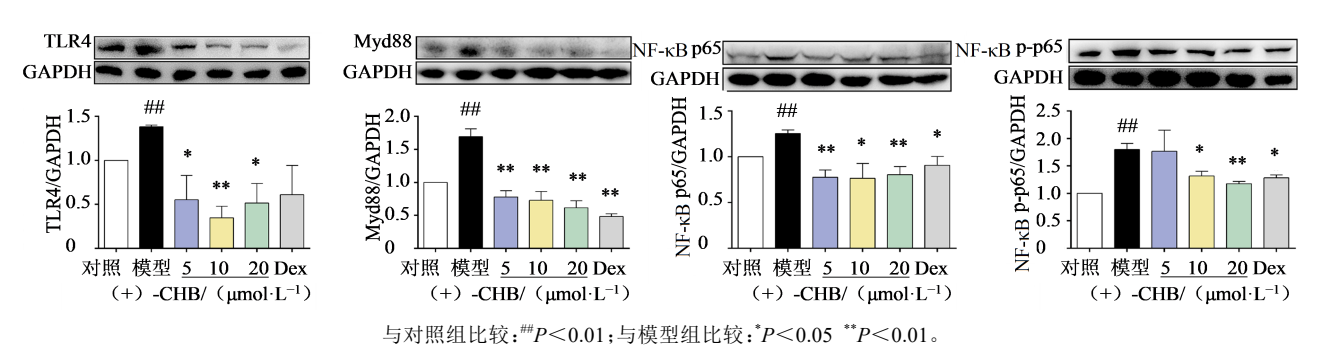
与对照组相比,模型组NLRP3蛋白和mRNA表

达显著增加(P<0.01);与模型组相比,(+)-CHB 10、20 μmol·L⁻¹ 处理显著下调 NLRP3 的蛋白和 mRNA表达(P<0.05、0.01)。

qRT-PCR 和 ELISA 结果显示,与对照组相比,模型组 IL-1β mRNA 的表达和分泌显著增加(P<0.05、0.01);与模型组比较,(+)-CHB 处理后 IL-1β mRNA 表达和分泌水平显著降低(P<0.05、0.01)。结果提示,(+)-CHB 能抑制 P2X7/NLRP3/IL-1β 炎症小体轴激活。

4 讨论

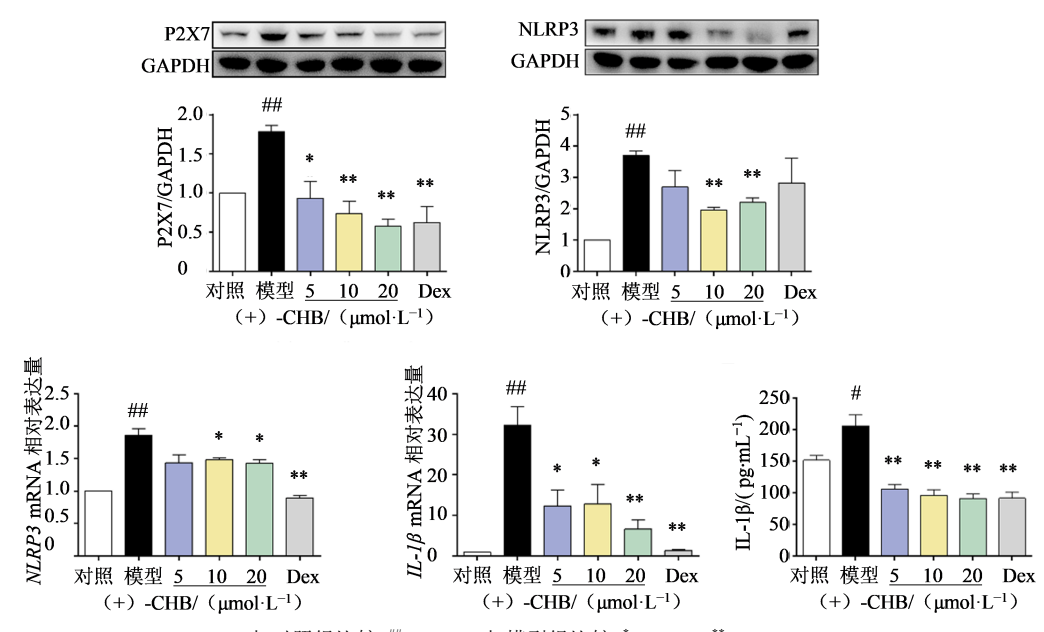
炎症在心血管疾病、癌症、哮喘、关节炎和糖尿病等多种疾病的发生和发展中起着至关重要的作用,开发新型抗炎药物已成为目前特别重要的研究方向。而来自植物或传统草药的天然产物构成了新型药物研究开发的宝库,许多具有独特疗效的天



##P < 0.01 vs control group; $^*P < 0.05$ ** $^*P < 0.01$ vs model group.

图 6 RAW264.7 细胞中关键炎症信号分子蛋白表达水平($\bar{x}\pm s, n=3$)

Fig. 6 Protein expression of key signal molecules of RAW 264.7 macrophages ($\bar{x}\pm s$, n=3)



与对照组比较: $^{**}P$ <0.01; 与模型组比较: $^{*}P$ <0.05 $^{**}P$ <0.01。 $^{**}P$ <0.01 $^{**}P$ <0.01 $^{**}P$ <0.01 $^{**}P$ <0.01 $^{**}P$ <0.05 $^{**}P$ <0.05 $^{**}P$ <0.01 $^{**}P$ <0.01 $^{**}P$ <0.05 $^{**}P$ <0.01 $^{**}P$

图 7 RAW264.7 细胞中 P2X7/NLRP3/IL-1β 炎症小体轴表达水平(x±s, n=3)

Fig. 7 Expression of P2X7/NLRP3/IL-1 β in RAW 264.7 macrophages ($\bar{x}\pm s$, n=3)

然产物已被批准用于疾病的临床治疗,例如抗疟药青蒿素、抗肿瘤药长春碱,或免疫调节性药物fingolimod等[17-19]。充分表征天然产物的结构功能和生物活性,将有助于发现具有独特价值的新型药物候选物^[20]。本课题组前期研究发现,(+)-CHB作为湖北金粟兰的活性化合物之一,具有潜在的抗炎作用,但其确切作用和机制尚不清楚^[16]。本研究建立了 LPS 诱导的 RAW264.7 细胞炎症模型,以确定(+)-CHB的抗炎活性并研究其药理机制。

众所周知,LPS能够激活单核细胞/巨噬细胞并 促进关键炎症介质的产生[21-22],故 LPS诱导的 RAW264.7细胞炎症模型常用于评价药物的疗效并 研究其作用机制。活化的巨噬细胞在LPS诱导下 触发促炎反应,引起NO、iNOS和COX-2的表达,以 及TNF-α和IL-6的产生,最终导致炎症性疾病的进 展和恶化[23]。iNOS和COX-2是负责产生NO和前 列腺素 E2 的促炎酶,介导炎症损伤过程的启动和进 展^[24]。TNF-α主要由巨噬细胞产生,参与抗原提呈 和免疫细胞激活[25],而IL-6参与白细胞浸润[26]。因 此,上述炎症介质和细胞因子水平的下调可作为研 究药物抗炎活性的策略。本研究发现(+)-CHB可 以降低LPS诱导的RAW264.7细胞中NO、iNOS和 COX-2的表达水平,以及减少炎症细胞因子TNF-α 和IL-6的产生,表明(+)-CHB通过抑制巨噬细胞炎 症介质和细胞因子的产生来发挥抗炎活性。

TLR4信号通路在感染、慢性和急性炎症性疾病的固有免疫反应中发挥关键作用,协助巨噬细胞识别病原体并触发一系列防御机制^[8]。TLR4激活后启动2种独特的信号通路:MyD88依赖性信号通路和MyD88非依赖性信号通路。LPS通常被视为TLR4激动剂,其触发的促炎反应是MyD88依赖性的^[9]。TLR4/MyD88是LPS诱发炎症的关键信号通路,激活的TLR4/MyD88导致下游核转录因子NF-κB的磷酸化,调节各种炎症介质的表达,包括TNF-α、IL-6、IL-1β、NLRP3、iNOS和COX-2^[10,22]。因此,抑制TLR4及其下游途径已被认为是一种有效的抗炎方法。本研究发现(+)-CHB抑制了TLR4、MyD88、NF-κB p65、p-NF-κB p65的表达,表明(+)-CHB的抗炎活性与阻断TLR4信号通路有关。

此外,NLRP3炎症小体是一种天然免疫系统的多蛋白复合物,也被认为是巨噬细胞炎症反应的关键指标^[27]。活化的NLRP3炎症小体在多种疾病中发挥致病作用,如哮喘、阿尔茨海默病和心血管疾

病^[28]。在炎症过程中,LPS激活TLR4/NF-κB,促进NLRP3和IL-1β前体转录,这些转录在翻译后以非活性形式停留在细胞质中;而LPS或ATP通过激活P2X7受体,诱导无活性NLRP3炎症小体的组装和过度激活,进一步促进IL-1β成熟并释放到细胞外环境,最终并引起广泛的免疫反应^[29-30]。在本研究中,(+)-CHB不仅负调控TLR4/MyD88/NF-κB通路,也降低了P2X7和NLRP3的表达水平,下调*IL-1β*mRNA表达且抑制其胞外分泌,表明(+)-CHB的抗炎活性还与抑制P2X7/NLRP3/IL-1β轴激活有关。

湖北金粟兰中活性化合物(+)-CHB可通过抑制 TLR4/MyD88/NF-κB信号通路及 P2X7/NLRP3/IL-1β轴来缓解 LPS诱导的 RAW264.7 巨噬细胞的炎症反应。本研究将为(+)-CHB在炎症控制领域的应用奠定实验基础,并为其在免疫紊乱和炎症相关疾病中的深入研究提供参考。

利益冲突 所有作者均声明不存在利益冲突 参考文献

- [1] Furman D, Campisi J, Verdin E, et al. Chronic inflammation in the etiology of disease across the life span [J]. Nat Med, 2019, 25(12): 1822-1832.
- [2] Chen L L, Deng H D, Cui H M, et al. Inflammatory responses and inflammation-associated diseases in organs [J]. Oncotarget, 2018, 9(6): 7204-7218.
- [3] Watanabe S, Alexander M, Misharin A V, et al. The role of macrophages in the resolution of inflammation [J]. J Clin Invest, 2019, 129(7): 2619-2628.
- [4] Hirayama D, Iida T, Nakase H. The phagocytic function of macrophage-enforcing innate immunity and tissue homeostasis [J]. Int J Mol Sci, 2017, 19(1): 92.
- [5] Xu R Q, Ma L, Chen T, et al. Sophorolipid suppresses LPS-induced inflammation in RAW_{264.7} cells through the NF-κB signaling pathway [J]. Molecules, 2022, 27(15): 5037.
- [6] Chen Y N, Hu M R, Wang L, et al. Macrophage M1/M2 polarization [J]. Eur J Pharmacol, 2020, 877: 173090.
- [7] Murray P J, Wynn T A. Protective and pathogenic functions of macrophage subsets [J]. Nat Rev Immunol, 2011, 11(11): 723-737.
- [8] Kuzmich N N, Sivak K V, Chubarev V N, et al. TLR4 signaling pathway modulators as potential therapeutics in inflammation and sepsis [J]. Vaccines, 2017, 5(4): 34.
- [9] Shirvani H, Mirnejad R, Soleimani M, et al. Swimming exercise improves gene expression of PPAR- γ and downregulates the overexpression of TLR4, MyD88, IL-6, and TNF-α after high-fat diet in rat skeletal

- muscle cells [J]. Gene, 2021, 775: 145441.
- [10] Xu J J, Lu C J, Liu Z J, et al. Schizandrin B protects LPS-induced sepsis via TLR4/NF- κB/MyD88 signaling pathway [J]. Am J Transl Res, 2018, 10(4): 1155-1163.
- [11] Sun S C, Gong D F, Liu R Q, et al. Puerarin inhibits NLRP3-caspase-1-GSDMD-mediated pyroptosis via P2X7 receptor in cardiomyocytes and macrophages [J]. Int J Mol Sci, 2023, 24(17): 13169.
- [12] Kong H, Zhao H R, Chen T R, et al. Targeted P2X7/ NLRP3 signaling pathway against inflammation, apoptosis, and pyroptosis of retinal endothelial cells in diabetic retinopathy [J]. Cell Death Dis, 2022, 13(4): 336.
- [13] 曹聪梅, 彭勇, 肖培根. 金粟兰属植物的化学成分和药 理作用研究进展 [J]. 中国中药杂志, 2008, 33(13): 1509-1515.
 - Cao C M, Peng Y, Xiao P G. Advance in on chemical constituent and bioactivity research of genus *Chloranthus* [J]. China J Chin Mat Med, 2008, 33(13): 1509-1515.
- [14] Zhang T, Liu S, Zhang Z M. Chemical constituents of Chloranthus henryi var. hupehensis (in Chinese) [J]. J Chin Med Mat [J]. 2023, 46(4): 882-885.
- [15] Sun G P, Feng S H, Yan C. Research progress in chemical components and pharmacological action of Chloranthus plants (in Chinese)[J]. Guizhou Sci, 2021, 39(2): 26-34.
- [16] Zhang D Y, Zhou J J, Yang H, et al. Chlorahupetenes A-D, four eudesmane-type sesquiterpenoid dimer enantiomers with two unusual carbon skeletons from *Chloranthus henryi* var. *hupehensis* [J]. J Org Chem, 2022, 87(13): 8623-8632.
- [17] Saito M, McGready R, Tinto H, et al. Pregnancy outcomes after first-trimester treatment with artemisinin derivatives versus non-artemisinin antimalarials: A systematic review and individual patient data meta-analysis [J]. Lancet, 2023, 401(10371): 118-130.
- [18] Brinkmann V, Billich A, Baumruker T, et al. Fingolimod (FTY720): Discovery and development of an oral drug to treat multiple sclerosis [J]. Nat Rev Drug Discov, 2010, 9 (11): 883-897.
- [19] Toupin N, Steinke S J, Nadella S, et al. Photosensitive Ru (II) complexes as inhibitors of the major human drug metabolizing enzyme CYP3A4 [J]. J Am Chem Soc,

- 2021, 143(24): 9191-9205.
- [20] Abdallah M H, Abu Lila A S, Shawky S M, et al. Experimental design and optimization of nanotransfersomal gel to enhance the hypoglycemic activity of silymarin [J]. Polymers, 2022, 14(3): 508.
- [21] Li L, Xu W J, Luo Y Z, et al. *Aloe* polymeric acemannan inhibits the cytokine storm in mouse pneumonia models by modulating macrophage metabolism [J]. Carbohydr Polym, 2022, 297: 120032.
- [22] Tang H Q, Yang D, Zhu L, et al. Paeonol interferes with quorum-sensing in *Pseudomonas aeruginosa* and modulates inflammatory responses in vitro and in vivo [J]. Front Immunol, 2022, 13: 896874.
- [23] Arora S, Dev K, Agarwal B, et al. Macrophages: Their role, activation and polarization in pulmonary diseases [J]. Immunobiology, 2018, 223(4/5): 383-396.
- [24] Bian M, Zhen D, Shen Q K, et al. Structurally modified glycyrrhetinic acid derivatives as anti-inflammatory agents [J]. Bioorg Chem, 2021, 107: 104598.
- [25] Jang D I, Lee A H, Shin H Y, et al. The role of tumor necrosis factor alpha (TNF-α) in autoimmune disease and current TNF-α inhibitors in therapeutics [J]. Int J Mol Sci, 2021, 22(5): 2719.
- [26] Wang T T, He C Q. TNF-α and IL-6: The link between immune and bone system [J]. Curr Drug Targets, 2020, 21 (3): 213-227.
- [27] Zhang J, Liu X Q, Wan C Y, et al. NLRP3 inflammasome mediates M1 macrophage polarization and IL-1β production in inflammatory root resorption [J]. J Clin Periodontol, 2020, 47(4): 451-460.
- [28] Hu Y S, Zhou Q L, Liu T L, et al. Coixol suppresses NFκB, MAPK pathways and NLRP3 inflammasome activation in lipopolysaccharide-induced RAW 264.7 cells [J]. Molecules, 2020, 25(4): 894.
- [29] Xu S L, Lin Y, Liu W, et al. The P2X7 receptor mediates NLRP3-dependent IL-1β secretion and promotes phagocytosis in the macrophage response to *Treponema pallidum* [J]. Int Immunopharmacol, 2020, 82: 106344.
- [30] Shao B Z, Xu Z Q, Han B Z, et al. NLRP3 inflammasome and its inhibitors: A review [J]. Front Pharmacol, 2015, 6: 262.

[责任编辑 兰新新]